

ESTIMATIVA DAS PRECIPITAÇÕES MÁXIMAS PROVÁVEIS COM DURAÇÃO DE 24 HORAS E DE 30 MINUTOS. CASO DOS CERRADOS BRASILEIROS¹

EDUARDO DELGADO ASSAD², RYO MASUTOMO³ e MARIA LEONOR LOPES ASSAD⁴

RESUMO - A partir de séries históricas de precipitação pluvial com 20 anos de duração, estima-se, utilizando as funções de distribuição de Gumbel e Weibull, a precipitação máxima diária para tempo de recorrência de cinco anos, em 100 estações localizadas nos cerrados brasileiros. Estimou-se, também, por um método indireto (Isozonas), a intensidade das chuvas para 24 horas e para 30 minutos, no período de outubro a março.

Termos para indexação: precipitação pluvial máxima, intensidade das chuvas, isozonas pluviométricas, pluviografia.

ESTIMATION OF PROBABLE MAXIMUM PRECIPITATIONS WITH 24 HOURS OR 30 MINUTES OF DURATION THE CASE OF THE BRAZILIAN CERRADOS

ABSTRACT - Daily maximum precipitation for five years of return period was evaluated by using historic series of 20 years of daily precipitation. This evaluation was performed with Gumbel and Weibull distribution function from 100 pluviometric stations of the cerrado region. The rain intensity for 24 hours and for 30 minutes was also estimated by indirect method (Isozones) for the period from October to March.

Index terms: daily maximum pluvial precipitation, rain intensity, pluviometric isozones, pluviography.

INTRODUÇÃO

As chuvas na região dos Cerrados têm como características importantes a intensidade com que pode ocorrer e a sua distribuição sazonal, concentrando-se principalmente de outubro a março. O conhecimento do fenômeno chuva quanto à quantidade, intensidade, duração e freqüência, é fundamental em diversas áreas técnicas e depende das medidas feitas em estações meteorológicas e postos pluviométricos.

A rede de pluviômetros da região dos Cerra-

dos brasileiros é relativamente densa. Entretanto, tendo em vista a necessidade de séries históricas confiáveis, esta densidade fica reduzida a cerca de 120 estações, com séries de 15 a 20 anos de dados diários. Diversos estudos foram feitos sobre a distribuição da precipitação pluvial a partir de dados diários de chuvas dos cerrados. Podem ser citados os estudos de probabilidade de ocorrência de veranicos (Wolf 1977), a tentativa de regionalização de grandes padrões pluviométricos dos cerrados (Moreira 1985), a determinação da precipitação máxima provável com duração de um dia para todo estado de São Paulo (Banzato & Benicasa 1986), e as análises freqüenciais de precipitação (Assad & Castro 1991).

Por outro lado, a densidade de pluviógrafos na região é baixíssima, e dispõe-se de poucos dados sobre a intensidade das chuvas. Isto tem deixado uma importante lacuna nos estudos de manejo e conservação de solos da região dos cerrados. A erosão hídrica em clima tropical é uma das importantes causas da perda da capa-

¹ Aceito para publicação em 10 de setembro de 1991

² Eng.-Agr., Dr., Agroclimatol., EMBRAPA/Centro de Pesquisa Agropecuária dos Cerrados (CPAC), Caixa Postal 70023, CEP 73301 Planaltina, DF.

³ Meteorol., Japan Weather Association, 292, Nishikicho Chiyodaku Tokyo 101, Japão.

⁴ Engº-Agrº, Profº-Adjunta, Dep. de Engenharia Agron. Universidade de Brasília (UnB), Caixa Postal 04508, CEP 70919, Brasília, DF.

cidade produtiva de áreas agricultadas, e já há algumas décadas que trabalhos têm mostrado a alta correlação entre intensidade de chuvas e perdas de solo por erosão (Ekern 1954, Free 1960). Wischmeier & Smith (1958) mostraram, em trabalhos conduzidos nos Estados Unidos, que a energia cinética total da chuva e sua intensidade máxima em trinta minutos são os fatores que melhor se correlacionam com as perdas do solo por erosão.

O conhecimento da chuva máxima diária tem aplicação imediata no dimensionamento de barragens, nos estudos de irrigação e drenagem, no controle de enxurradas, etc.

Este trabalho tem como principal objetivo determinar a máxima precipitação pluvial diária, em cada mês compreendido no período de outubro a março, para tempos de recorrência de cinco anos, utilizando distribuições de Gumbel

e Weibul, e, a partir desses valores calculados, estimar a intensidade máxima para 30 minutos. Pretende-se, desta maneira, iniciar o preenchimento de uma grande lacuna existente hoje na região, que é a não-disponibilidade de dados pluviográficos, e com isso auxiliar nos estudos de conservação do solo.

MATERIAL E MÉTODOS

Os dados pluviométricos deste estudo foram fornecidos pela Secretaria Nacional de Irrigação (SENIR) do Ministério da Agricultura, que possui parte da base de dados pluviométricos do DNAEE (Departamento Nacional de Água e Energia Elétrica). Foram selecionadas 100 estações distribuídas na região dos cerrados brasileiros com um mínimo de 20 anos de observação de dados diários, conforme apresentado na Fig. 1.

Estes dados foram criticados utilizando-se o méto-

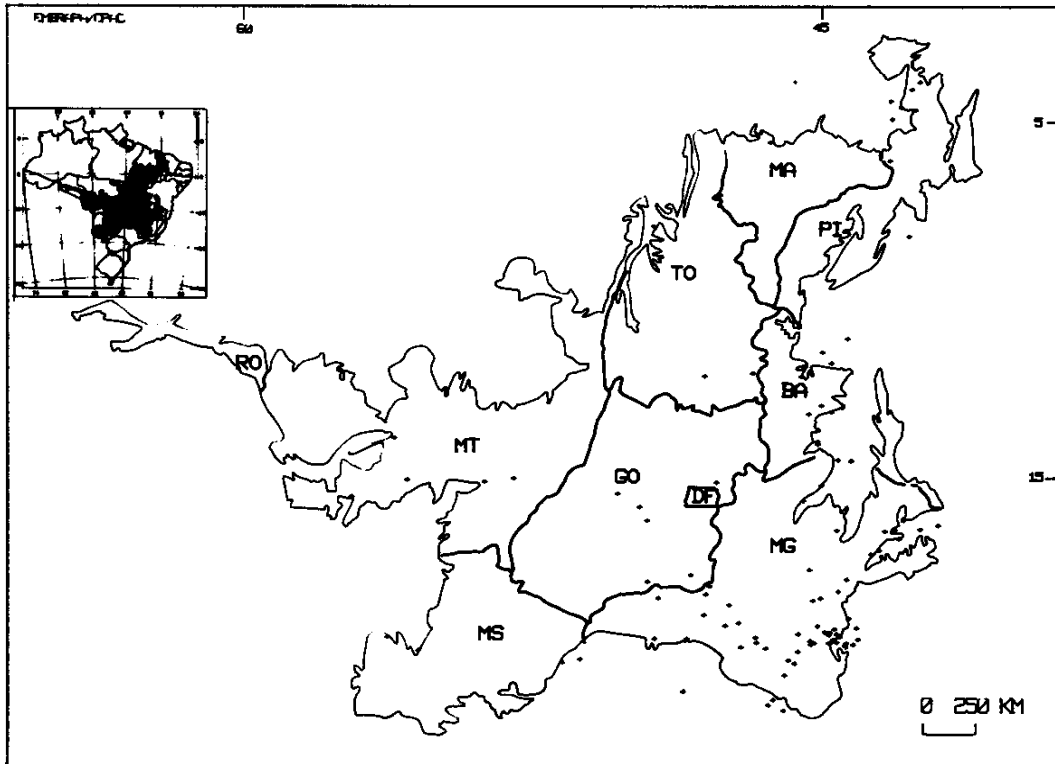


FIG. 1. Localização das estações pluviométricas analisadas.

do de vetor regional, e os anos com valores aberrantes foram eliminados. Foram considerados valores anormais de precipitação aqueles que ultrapassaram 2,5 vezes o desvio-padrão.

Uma vez criticada a série de dados, foram determinadas as máximas precipitações diárias nos anos selecionados, para os meses de outubro a março, e a partir daí, foram estabelecidos os critérios para escolha da função de distribuição. Neste estudo, foram utilizadas duas funções de distribuição, a saber: Gumbel e Weibull (esta com sete valores diferentes para a constante K). Os valores máximos diárias de precipitação para diversos tempos de recorrência foram calculados utilizando o método proposto por Petruaskas & Agaard (1970). Dessa maneira, assumindo que T é um período de tempo (anos), N é um valor máximo observado em T anos, excedendo certo limite, e m é o posto em que o valor N está localizado, em ordem descendente no período; a probabilidade de que um valor não seja ultrapassado é calculada pela equação:

$$P[V \leq X_{mN}] = 1 - \frac{m-a}{N+B}, \quad (1.1)$$

onde x_{mN} é o valor máximo dos mN máximos valores ($m=1,2,3,\dots,N$), e a e B são parâmetros das funções de distribuição de Gumbel e Weibull. No caso da função de Weibull, a maior dificuldade está na determinação dos valores de k. Na Tabela 1 são apresentados os valores de k que foram utilizados e os respectivos valores de a e B.

As funções de distribuição são calculadas da seguinte maneira:

- distribuição de Gumbel:

$$P[V \leq X] = \exp[-\exp(-\frac{X-B}{A})] \quad (1.2)$$

- distribuição de Weibull:

$$P[V \leq X] = 1 - \exp[-(\frac{X-B}{A})^k] \quad (1.3)$$

Selecionados os valores adequados de a e B, os máximos valores de $P[V \leq X]$ são convertidos para $T_V = (X-B)/A$ pelas equações:

- para distribuição de Gumbel:

$$T_V = \ln \left\{ -\ln [P[V \leq X]] \right\} \quad (1.4)$$

- para a distribuição de Weibull:

$$1/k$$

TABELA 1. Parâmetros utilizados na determinação da probabilidade de ocorrência de chuvas máximas diárias.

Função tipo (F)	Distribuição	a	B
1	GUMBEL	0,44	0,12
2	WEIBULL ($k=0,75$)	0,54	0,64
3	WEIBULL ($k=0,85$)	0,51	0,59
4	WEIBULL ($k=1,00$)	0,48	0,53
5	WEIBULL ($k=1,10$)	0,46	0,50
6	WEIBULL ($k=1,25$)	0,44	0,47
7	WEIBULL ($k=1,50$)	0,42	0,42
8	WEIBULL ($k=2,00$)	0,39	0,37

$$T_V = [-\ln \left\{ -\ln P[V \leq X] \right\}] \quad (1.5)$$

Assumindo que existe uma relação linear entre X e T_V , os valores estimados de A e B podem ser obtidos por:

$$X = \hat{A} T_V + \hat{B} \quad (1.6)$$

O critério determinado para escolha da melhor função de distribuição é baseado no coeficiente de correlação. O cálculo é feito para cada tipo de função, e para cada mês é escolhida a função em que se obtém o melhor coeficiente de correlação.

O tempo de recorrência T e o máximo valor estimado R_p estão relacionados com $P[V \leq X]$ pela equação:

$$R_p = \frac{T}{N} \frac{1}{1-P[V \leq X]} \quad (1.7)$$

Neste trabalho serão apresentados somente os valores extremos calculados para tempo de recorrência de cinco anos, uma vez que as estruturas utilizadas em conservação do solo têm uma vida útil média de cinco anos. Foram calculados os valores extremos para tempos de recorrência de 5, 10, 15, 20, 25, 50 e 100 anos.

Após a determinação dos valores extremos, utilizando método proposto por Torrico (1975), foram calculadas as chuvas máximas para 24 horas, para uma hora e para trinta minutos. Torrico (1975), baseado no trabalho de Pfafstetter (1957), construiu um mapa de Isozonas, apresentado na Fig. 2, relacionado às alturas de precipitação máxima anual de uma hora, com a máxima anual de 24 horas para cada posto pluviográfico existente no Brasil naquela época.

Para correlacionar as precipitações das estações

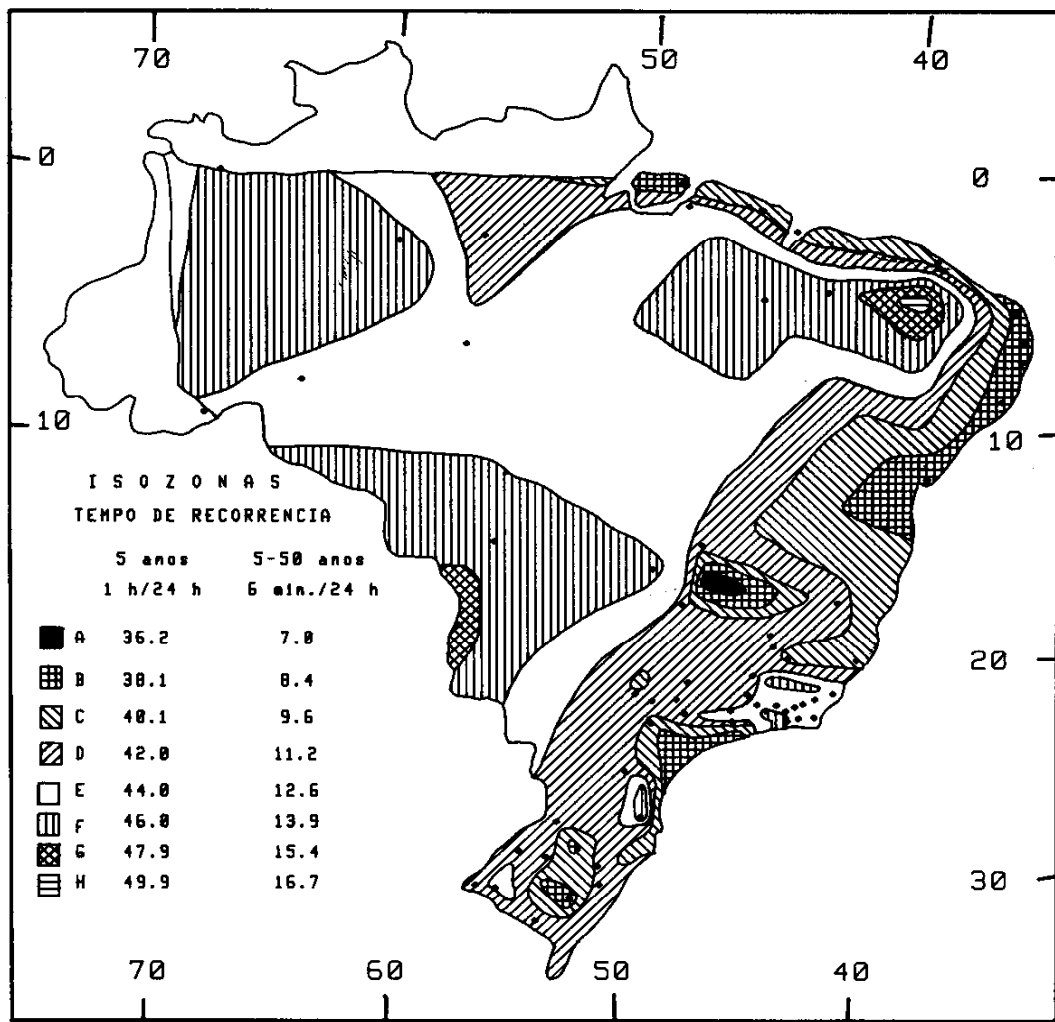


FIG. 2. Mapa das Isozonas elaborado por Torrico (1975).

pluviométricas com as Isozonas, determinou-se a relação 24 horas/um dia, para tempo de recorrência base de um ano. O coeficiente encontrado é de 1,10, com desvio-padrão de $\pm 6.6\%$.

Segundo Torrico (1975), "o tempo de recorrência nesta relação não tem influência, porque a precipitação média de um dia equivale a uma duração de quinze horas e 50 minutos para tempo de recorrência de um ano, e a 16 horas e 10 minutos para 1000 anos, ou seja, somente 0,1% de influência nas alturas de precipitação".

Resumindo, identifica-se, na Fig. 2, a Isozona correspondente à estação, e obtém-se o coeficiente para transformação da chuva máxima de 24 horas em chuva de seis e sessenta minutos. Por interpolação no papel de probabilidades, obtém-se a chuva máxima para intervalos de tempos entre seis minutos e 24 horas. Para o presente trabalho, estimou-se apenas a chuva máxima em seis minutos, em 30 minutos, e em uma hora, para tempo de recorrência de cinco anos. Entretanto, havendo necessidade dos valores de precipitação máxima para 30 minutos ou outro intervalo en-

tre seis minutos e 24 horas, para diferentes tempos de recorrência, estes podem ser facilmente calculados, uma vez que a precipitação máxima para diversos tempos de recorrência está disponível.

RESULTADOS E DISCUSSÃO

Calculados os valores da precipitação máxima diária pelas funções de Gumbel ou Weibull, e determinadas as precipitações para 30 minutos pelo método das Isozonas, os resultados são apresentados nas Tabelas 2 e 3. Na Tabela 2,

para cada mês do período escolhido (outubro a março), são apresentadas a precipitação máxima (PL), para tempo de recorrência de cinco anos, o desvio-padrão ($\pm dP$), calculado para intervalo de confiança de 95%, e a função que apresentou melhor coeficiente de correlação para determinação da precipitação máxima diária (F). Na Tabela 1 são apresentadas as funções e os coeficientes utilizados.

Para todos os casos, os coeficientes de correlação encontrados foram superiores a 0,92. Os coeficientes mais baixos (0,92 e 0,93), foram ob-

TABELA 2. Precipitação máxima diária (PL) estimada para período de retorno de 5 anos, por 8 funções diferentes (F). (dP é o desvio-padrão estimado para intervalo de confiança de 95%).

ESTAÇÃO	LATIT	LONGI	UF	OUTUBRO			NOVEMBRO			DEZEMBRO			JANEIRO			FEVEREIRO			MARÇO			ANUAL				
				PL (mm)	dP (mm)	F																				
ABADIA DOS DOURADOS	18	29	47	24	MG	52.3	6.2	8	69.6	7.3	8	73.3	5.4	7	75.8	6.2	8	68.7	5.8	8	54.4	5.7	8	94.5	9.0	8
AMARANTE	06	15	42	51	PI	48.9	6.6	7	47.6	6.7	6	63.8	14.8	3	62.3	5.4	1	71.8	10.1	8	82.0	11.8	7	108.9	12.9	8
AQUIDAUANA	20	28	55	48	MS	64.7	13.8	1	68.5	11.6	1	67.2	8.8	1	66.1	9.8	8	67.9	16.5	5	85.0	8.6	8	94.1	7.3	6
ARAÇUAÍ	16	52	42	05	MG	40.3	4.8	8	70.8	10.6	8	63.6	13.1	8	55.3	8.4	4	47.2	4.8	6	60.2	11.7	8	88.8	6.6	8
ARAXÁ-DNMET	19	35	46	54	MG	66.1	9.6	8	62.4	16.2	2	71.3	10.3	8	80.4	8.1	1	63.8	8.0	8	66.0	7.1	1	99.4	7.5	1
BANBUI	20	01	45	58	MG	51.4	4.7	8	64.3	14.4	3	67.0	5.6	1	71.5	7.2	7	52.9	8.4	8	60.4	7.8	3	100.4	9.3	7
BARRAS	04	15	42	18	PI	16.9	4.0	6	32.6	3.7	1	60.9	11.0	4	80.9	9.5	1	83.3	13.0	8	85.8	14.7	4	113.2	14.5	1
BARREIRAS	12	09	44	59	BA	38.4	5.1	7	74.7	10.1	8	69.8	7.3	1	64.3	8.5	8	67.2	10.0	5	54.5	8.8	4	100.1	8.6	8
BARREIRAS	12	09	44	59	BA	39.6	6.6	7	66.7	11.6	8	70.0	9.3	1	60.1	6.3	5	65.7	11.2	4	59.3	8.8	4	107.5	13.8	8
BATALHA	04	02	42	05	PI	17.9	10.0	2	31.6	8.0	7	71.5	12.6	8	75.4	15.4	4	80.1	13.7	1	73.3	15.1	4	113.1	15.8	8
BOQUEIRÃO	11	20	43	51	BA	38.3	6.5	7	70.1	12.0	8	67.8	9.5	8	68.4	11.2	1	60.5	8.2	8	63.8	8.8	8	93.3	8.7	1
CACERES	16	04	57	41	MT	59.8	10.8	1	61.5	9.6	8	68.4	6.7	6	66.6	11.7	8	75.9	8.2	7	62.0	5.3	1	96.5	7.8	8
CAETÉ	19	53	43	46	MG	51.2	6.5	1	73.4	9.0	1	75.6	14.9	8	67.5	14.5	4	66.5	22.4	2	57.4	7.0	1	105.8	19.2	4
CAIXA DE AREIA	19	37	43	55	MG	55.2	5.2	8	72.6	16.6	4	85.0	9.0	7	76.0	11.4	1	84.9	13.9	7	68.8	7.8	8	116.0	10.9	8
CAMPOMAIOR	04	49	42	11	PI	21.4	3.2	6	43.3	14.5	7	59.4	12.0	6	70.9	11.4	8	65.1	11.7	8	71.8	9.8	8	85.7	12.0	3
CARMÓ DO CAJURU	20	12	44	46	MG	59.5	8.9	8	76.0	8.6	8	66.9	5.3	8	79.5	13.4	1	52.7	4.4	8	60.1	10.9	1	94.9	6.5	1
CARMÓ DA MATA	20	33	44	51	MG	54.0	7.4	1	69.7	11.5	8	76.9	9.5	8	77.8	14.1	6	61.3	9.9	8	54.5	7.3	8	97.9	8.0	1
CARMÓ DO PARANAÍBA	18	59	46	49	MG	56.6	8.9	4	58.3	7.6	1	69.0	8.0	7	73.8	8.5	5	59.8	9.7	6	51.8	6.6	8	95.3	8.6	1
CAROLINA	07	20	47	28	MA	48.3	7.2	7	68.5	13.4	8	69.2	10.1	8	62.1	11.0	8	69.3	9.5	8	84.6	9.4	8	100.8	16.3	8
CATALÃO	18	11	47	57	GO	66.6	13.8	8	66.3	5.9	1	74.9	7.7	1	84.8	7.4	8	60.2	8.0	5	66.9	7.7	8	97.4	4.0	1
COLÔNIA MERURI	15	33	53	05	MT	60.2	9.1	1	66.2	6.3	6	67.5	5.0	1	73.6	11.8	1	66.5	6.3	1	65.7	4.7	8	91.4	4.9	8
CONCEIÇÃO DO ARAGUAÍA	16	19	47	17	PA	64.1	12.2	1	63.1	13.5	8	68.7	10.2	8	70.5	8.0	8	69.0	6.1	8	72.5	12.4	1	93.6	6.5	7
CONCEIÇÃO RIO VERDE	21	24	45	05	MG	63.4	9.4	1	63.7	9.6	8	69.1	4.8	7	65.2	8.9	1	68.9	25.1	2	58.5	9.4	1	96.2	25.6	2
CORONEL MURTA	16	38	42	13	MG	53.4	9.9	8	67.7	7.0	7	69.3	10.1	7	64.1	11.9	8	52.3	11.6	5	52.4	6.2	8	94.0	10.1	0
COTEGIPE	12	02	44	55	BA	54.4	10.7	7	77.7	10.7	1	84.9	12.5	8	81.4	18.6	3	74.0	16.9	5	76.0	13.6	8	124.7	16.9	1
CUIABÁ	15	36	56	06	MT	62.0	7.5	8	63.9	8.0	1	72.1	9.1	7	63.6	11.2	4	67.1	6.5	5	78.3	8.3	7	105.0	7.1	1
CURVELO	18	45	46	26	MG	52.8	6.8	8	59.9	5.5	8	78.3	13.2	7	71.2	11.7	8	51.0	6.0	8	56.9	11.0	8	92.8	7.5	7
DIAMANTINO	14	24	56	27	MT	66.7	6.0	6	90.6	7.8	8	75.6	6.1	8	80.0	10.7	5	67.4	9.6	1	70.7	6.2	6	114.2	7.9	3
FAZENDA AJUDAS	20	10	46	25	MG	48.4	8.6	8	68.0	5.8	8	68.3	10.7	8	59.4	9.3	8	48.7	8.8	1	52.8	11.0	8	81.9	4.2	8
F.E.SCOLA FLORESTAL	19	53	44	26	MG	48.1	9.8	8	63.9	7.7	8	64.9	9.5	8	66.5	9.7	3	68.8	16.2	1	62.4	6.1	6	88.9	12.7	3
FAZ. PORTO ALEGRE	14	15	44	33	BA	47.7	7.7	8	64.5	8.7	7	72.0	7.0	1	66.7	8.5	6	59.0	7.4	6	59.9	15.7	4	96.6	4.8	7
FORMOSA	15	32	47	20	GO	53.4	10.5	4	72.0	12.1	9	65.9	7.6	6	71.3	7.1	1	60.2	6.2	1	61.2	8.3	1	91.1	13.6	8
FORMOSA DO RIO PRETO	11	03	45	12	BA	41.4	4.8	7	61.8	6.1	8	70.5	6.3	8	55.9	6.1	7	67.3	12.2	8	47.4	4.2	8	85.2	9.0	8
FRUTAL	20	02	48	56	MG	41.0	5.2	8	65.8	10.3	8	60.4	5.6	1	71.4	11.0	7	58.3	10.1	8	60.1	7.2	7	91.1	16.2	8
GOIÁMIA	16	41	49	16	GO	65.1	9.2	7	61.8	9.0	8	76.8	13.4	4	69.4	6.6	4	65.3	7.3	1	65.9	7.2	8	99.8	6.4	6
GOIÁS	15	56	50	08	GO	58.8	20.1	2	72.3	11.5	5	73.1	6.0	8	83.9	9.9	8	63.7	9.7	1	65.3	7.7	4	106.3	11.1	4
GOUVEIA	18	27	43	43	MG	54.3	4.4	8	68.9	12.2	4	63.7	7.8	6	78.2	12.3	7	56.7	7.4	1	59.7	5.5	8	100.6	6.3	8
GRAJAU	05	49	46	48	MA	36.6	5.9	7	48.6	7.9	8	53.5	5.0	8	52.0	9.1	8	55.8	9.8	8	64.4	5.8	8	71.2	6.5	1
GUMICURUS	20	05	56	42	MS	63.5	9.0	8	81.2	14.6	8	82.3	12.3	8	83.6	10.9	8	98.6	11.1	8	76.4	14.0	6	119.3	9.5	5
IBIÁ	19	29	46	31	MG	56.6	7.3	4	57.3	6.0	8	68.5	7.4	1	75.6	13.7	3	57.5	21.2	2	56.6	5.7	8	99.1	12.0	3

TABELA 2. Continuação

ESTAÇÃO	LATIT	LONGI	UF	OUTUBRO			NOVEMBRO			DEZEMBRO			JANEIRO			FEVEREIRO			MARÇO			ANUAL				
				PL	dP	F	PL	dP	F	PL	dP	F	PL	dP	F	PL	dP	F	PL	dP	F	PL	dP	F		
IGUATAMA	20	10	45	42	MG	42.4	4.7	8	55.6	12.0	1	63.7	3.3	8	69.0	8.6	8	57.0	9.5	2	54.1	5.0	5	90.9	11.3	4
INHUMAS	16	18	49	39	60	61.7	4.2	8	58.0	5.8	8	54.3	13.9	2	64.4	7.6	8	61.1	6.1	7	68.7	10.2	8	94.0	10.5	1
INST. AGROHÓMICO	19	55	43	54	MG	55.5	7.1	8	64.1	7.2	8	78.9	6.8	8	82.5	6.4	8	72.1	8.2	7	61.4	10.1	8	94.4	6.5	5
ITAMARANDIBA	17	21	42	51	MG	50.9	5.6	8	64.8	9.6	8	62.3	9.0	1	70.8	6.4	8	68.7	19.8	1	54.3	9.8	8	86.4	10.4	2
ITAOBIM	16	34	41	36	MG	58.8	8.1	8	60.6	6.6	5	53.1	8.2	4	59.0	8.6	8	37.4	6.6	4	49.1	13.5	8	84.4	9.5	8
ITUMBIRAI	18	25	49	12	60	53.8	7.0	4	56.3	19.1	8	66.7	8.0	8	72.0	19.1	8	47.3	13.8	8	57.2	8.3	8	98.1	24.0	8
JABOTICABAS	19	31	43	45	MG	56.0	4.5	7	67.2	10.1	7	75.6	8.8	8	67.7	9.7	8	56.3	9.1	7	54.1	12.7	5	91.0	9.7	8
JAGUARUAMA-JUSANTE	19	43	44	48	MG	47.0	5.5	1	68.0	9.8	7	72.4	5.9	8	71.1	10.3	8	57.5	7.9	7	55.3	8.9	8	89.2	6.7	8
JAMUÁRIA	15	29	44	22	MG	39.6	12.2	7	55.9	9.3	8	65.5	6.8	1	52.4	9.8	8	47.6	6.8	8	44.7	7.9	8	72.8	10.2	1
JEQUITINHONHA	16	26	44	04	MG	58.0	8.0	7	71.4	6.8	1	65.7	13.7	5	56.0	11.4	8	51.2	7.9	4	52.6	11.2	4	97.7	10.1	8
JOSÉ DE FREITAS	04	05	42	35	PI	17.3	12.1	2	42.9	6.1	7	57.3	6.2	8	70.7	8.2	8	70.6	7.6	1	79.3	7.2	8	91.6	5.8	8
JOSÉ DE MELO	19	43	43	35	MG	44.1	3.6	1	68.9	8.5	8	72.4	8.4	1	72.4	8.1	8	59.2	6.7	5	66.5	9.9	8	91.4	6.7	8
JUPIA	20	47	51	37	HS	51.3	6.9	7	58.6	6.9	8	65.6	10.1	7	82.9	14.8	8	73.3	10.7	1	63.0	10.4	7	101.9	14.0	8
LAGOA SANTA	19	37	43	53	MG	56.1	7.0	5	59.8	5.7	8	77.1	6.0	7	79.4	10.8	1	61.0	9.0	1	58.4	12.0	8	95.4	7.9	1
LAMOUNIER	20	28	45	02	MG	49.4	9.9	8	69.7	8.5	8	76.8	9.2	8	79.5	9.9	5	59.7	9.6	1	62.6	7.5	8	100.9	4.7	5
LASSANCE	17	53	44	35	MG	46.3	6.7	8	71.5	8.0	1	63.5	8.0	8	64.0	11.1	1	51.9	6.1	7	57.6	6.2	7	88.5	5.9	7
LUSSANVIRA	20	41	51	06	SP	53.8	5.8	8	60.4	8.1	8	62.5	8.6	5	71.8	11.1	5	57.7	4.7	4	51.6	5.7	1	89.7	7.6	1
MANGA	14	45	43	57	MG	40.1	5.0	8	65.4	12.9	6	59.4	11.1	8	61.7	9.8	8	53.0	6.0	8	52.2	7.8	8	82.4	5.9	8
MATEUS LEME	19	59	44	25	MG	56.7	10.0	8	64.1	8.8	8	79.5	9.9	6	72.0	9.0	1	61.7	10.0	6	70.7	9.3	7	106.1	11.6	8
MENDANHA-MONTANTE	18	06	43	30	MG	49.7	4.1	7	72.4	15.4	4	84.2	7.2	6	86.9	10.2	1	67.8	8.0	1	61.8	17.0	2	115.2	8.9	5
MINAS NOVAS	17	14	44	30	SP	45.7	7.4	8	72.8	8.1	6	60.4	10.2	8	57.6	42.7	4	42.7	5.9	8	45.6	13.1	2	92.6	10.3	5
MOCAMBO	13	14	44	30	BA	23.3	6.7	4	31.6	7.5	1	45.6	6.5	4	26.5	5.3	4	26.5	7.5	4	44.4	7.6	8	61.3	10.4	8
MONSENHOR PAULO	21	46	45	32	MG	49.6	5.0	5	58.3	7.0	1	45.3	7.9	8	69.1	6.8	8	57.7	7.9	8	52.6	9.7	1	87.5	8.9	8
MONTE AL. DE NIJIN	18	52	48	52	MG	55.7	4.3	8	60.9	4.5	5	64.8	12.4	3	87.3	24.0	2	55.4	9.5	1	67.7	6.0	8	106.5	20.9	2
MONTE CARNEIRO	18	43	47	30	MG	58.5	4.7	8	65.7	7.6	8	67.7	10.6	1	86.0	9.0	6	64.1	10.4	5	52.1	10.0	1	106.7	8.4	7
MONTES CLAROS	16	44	43	52	MG	45.7	9.8	1	82.2	17.6	4	98.0	15.6	8	97.2	19.3	7	88.1	10.7	4	68.7	12.4	6	134.1	14.6	7
MORRO DO PILAR	19	12	43	22	MG	62.3	7.3	8	81.2	14.7	8	87.8	12.9	8	76.9	10.0	5	69.0	6.7	8	73.6	36.2	2	111.6	24.5	2
NOVA EBIA	19	46	43	03	MG	44.3	5.7	1	57.5	6.0	7	71.0	7.5	1	67.4	10.3	1	46.0	7.0	8	54.5	11.5	1	81.5	8.0	5
PARANÁ	12	31	47	46	SP	56.5	14.6	8	60.9	15.3	8	62.6	7.9	8	55.2	8.3	8	60.6	8.0	8	56.2	7.3	1	79.7	9.0	8
PEDRO LEOPOLDO	19	37	44	02	MG	56.0	7.1	5	70.8	8.3	6	78.1	10.2	1	62.7	7.5	8	55.9	8.4	8	49.2	6.3	8	94.6	7.7	6
PONTE DO LICÍNIO	18	40	44	13	MG	48.5	4.2	7	59.0	10.9	8	72.5	13.1	1	59.6	9.3	5	54.1	5.7	8	61.6	14.8	6	95.6	6.3	1
PONTE GUATAPARA	21	36	48	02	SP	58.0	7.5	6	51.1	5.2	8	73.3	14.1	1	66.3	14.8	6	69.1	9.6	8	54.0	7.9	1	96.2	8.4	1
PORTO MANDACARU	16	41	42	30	MG	45.5	3.7	7	61.3	8.6	5	60.4	5.8	1	60.2	10.6	7	47.3	6.0	6	58.6	10.9	6	90.8	8.7	8
PONTE NOVA DO PARAOP	19	56	44	19	MG	52.5	7.3	7	66.3	7.9	5	63.6	4.5	1	80.9	15.5	1	61.3	7.0	1	55.6	7.6	8	94.9	10.5	5
PORTO NOVO	13	16	43	45	BA	43.6	6.1	8	62.8	12.6	8	71.5	7.5	8	59.7	15.1	2	55.9	7.1	8	62.8	7.2	6	92.4	9.7	2
QUEIJADAS	14	46	43	53	MG	35.7	6.0	3	57.5	8.4	8	67.6	10.2	8	62.3	12.3	8	56.1	9.2	7	66.7	18.5	4	93.3	20.6	1
RIO PIRACICABA	15	53	43	11	MG	48.0	12.1	2	61.9	14.3	8	60.9	8.8	8	74.6	13.6	5	47.6	6.2	8	53.0	6.6	1	93.4	19.7	1
SABARÉ	19	55	43	49	MG	49.1	4.3	8	65.2	9.8	8	75.8	3.7	1	67.5	14.2	2	62.7	6.0	8	55.3	9.4	8	87.8	6.5	5
SANGRADOURO	15	39	53	54	MT	60.3	8.4	8	77.1	9.7	8	72.6	8.6	7	72.7	12.3	2	71.6	12.3	5	76.0	9.6	8	106.8	13.4	1
SANTA BARBARA	19	58	43	24	MG	51.9	4.7	1	63.5	9.6	8	66.4	12.2	8	86.7	10.8	8	63.6	7.0	1	56.3	5.8	1	100.5	17.0	8
SANTA JULIANA	19	18	47	32	MG	61.9	9.6	8	69.6	6.3	1	63.1	6.9	7	75.8	11.6	1	64.8	8.3	1	55.6	4.5	7	92.3	8.6	1
STA. MARIA VITÓRIA	13	24	44	12	BA	39.3	6.7	1	74.7	11.8	8	78.5	11.1	5	52.5	5.5	2	58.1	6.5	5	53.4	7.0	7	98.5	10.1	1
STA. MARIA ITABIRA	19	27	43	07	MG	53.4	10.6	8	82.2	12.0	8	72.7	6.7	8	75.0	9.6	8	59.6	7.7	7	52.9	7.6	1	96.7	7.6	8
SANTANA DO JACARÉ	20	54	45	07	MG	43.7	12.5	4	56.5	7.3	1	63.6	13.9	1	64.4	8.7	8	47.1	8.1	8	47.5	8.8	8	90.1	14.5	8
SÃO FRANCISCO	15	57	44	52	MG	54.5	8.9	8	60.7	9.4	8	68.8	14.0	1	74.4	6.6	5	62.7	8.9	8	71.5	14.2	1	97.4	8.7	5
SÃO GONCALO	14	20	44	32	MG	28.8	9.2	4	63.5	15.4	1	54.7	7.8	1	56.1	7.4	1	52.2	8.1	6	48.3	6.3	8	94.7	15.1	8
SÃO JOÃO DO PIAUÍ	08	02	42	15	PI	22.3	2.7	8	65.4	8.2	8	52.0	6.4	7	64.6	29.9	2	62.5	15.7	1	64.4	13.1	8	92.2	23.5	2
SÃO MANUEL	13	30	44	50	BA	35.4	5.7	4	58.8	9.7	8	65.5	13.8	8	64.8	13.4	7	58.6	10.1	8	57.8	6.0	7	83.5	7.2	8
SETE LAGOAS	19	28	44	15	MG	46.7	6.2	1	67.2	7.8	8	71.4	7.3	3	80.9	8.6	1	77.0	9.2	1	50.5	6.0	8	106.8	16.7	1
SÍTIO GRANDE	12	26	45	05	BA	53.5	6.2	8	63.2	26.4	2	69.7	8.1	8	69.1	7.0	5	65.3	14.2	1	56.3	8.7	7	93.0	13.7	2
TAGUA-CAMPÔ LARGO	11	44	43	31	BA	45.5	4.7	8	93.3	13.8	1	70.4	11.3	8	55.6	10.4	8	62.4	10.1	3	57.8	7.3	8	108.8	8.8	6

servados nos meses de outubro e março, ou seja, início e fim da estação das chuvas, período no qual às médias mensais são associados coeficientes de variação. Nos meses de novembro a fevereiro, o coeficiente de correlação aumenta,

sendo, na maioria dos casos, superior a 0,95.

Analisando-se a Tabela 2, observa-se que 17% das chuvas máximas de maior valor absoluto ocorrem em novembro, 35% em dezembro, 32% em janeiro, 5% em fevereiro, e 12% em

TABELA 3. Precipitação máxima em mm para 30 minutos. Tempo de recorrência de 5 anos.

ESTAÇÃO	LATIT	LONGI	UF	OCTUBRO	NOVEMBRO	DEZEMBRO	JANEIRO	FEVEREIRO	MARÇO	ANUAL		
ABADIA DOS DOURADOS	18	29	47	24	MG	18	24	26	28	23	19	32
AMARANTE	06	15	42	51	PI	19	19	24	24	27	31	43
AQUIDAUANA	20	28	55	48	MS	24	26	26	25	26	24	33
ARAÇUAI	16	52	42	05	MG	13	23	21	18	15	19	29
ARAXÁ-DNMET	19	35	46	54	MG	23	21	24	28	21	23	33
BAMBUI	20	01	45	58	MG	17	22	23	25	19	20	35
BARRAS	04	15	42	18	PI	05	11	20	28	22	29	39
BARREIRAS	12	09	44	59	BA	11	25	24	23	23	18	37
BARREIRAS	12	09	44	59	BA	13	24	25	20	23	21	38
BATALHA	04	02	42	05	PI	07	10	25	27	29	26	49
BOQUEIRÃO	11	20	43	51	BA	11	24	23	23	19	20	31
CACERES	16	04	57	41	MT	23	24	26	25	29	24	37
CAETÉ	19	53	43	40	MG	17	25	26	23	23	20	37
CAIXA DE AREIA	19	37	43	55	MG	19	25	29	26	29	23	41
CAMPO MAIOR	04	49	42	11	PI	09	19	23	29	25	29	33
CARMO DO CAJURU	20	12	44	46	MG	17	23	25	25	20	18	32
CARMO DA MATA	20	33	44	51	MG	19	28	24	29	18	19	33
CARMO DO PARANAÍBA	18	59	46	49	MG	20	20	23	26	20	17	33
CAROLINA	07	20	47	28	MA	19	27	27	22	27	33	41
CATALÃO	18	11	47	57	GO	22	22	25	28	20	22	30
COLÔNIA MERURI	15	33	53	05	MT	23	25	26	28	25	25	35
CONCEIÇÃO DO ARAGUAIA	08	16	49	17	PA	24	23	25	26	25	27	34
CONCEIÇÃO RIO VERDE	21	24	45	05	MG	22	22	24	23	24	20	32
CORONEL MURTA	16	38	42	13	MG	17	23	23	21	17	17	30
COTEGIPE	12	02	44	15	BA	19	30	29	27	26	26	43
CUIABA	15	36	56	06	MT	24	24	28	25	26	30	42
CURVELO	18	45	46	26	MG	18	20	27	24	17	20	32
DIAMANTINO	14	24	56	27	MT	25	33	29	31	26	30	44
FAZENDA AJUDAS	20	10	46	25	MG	17	20	23	20	17	18	28
F.ESCOLA FLORESTAL	19	53	44	26	MG	17	22	23	23	24	21	30
FAZ. PORTO ALEGRE	14	15	44	33	BA	15	22	25	24	21	21	38
FORMOSA	15	32	47	20	GO	18	25	23	24	20	21	32
FORMOSA DO RIO PRETO	01	03	45	12	BA	14	22	25	21	24	17	31
FRUTAL	20	02	48	56	MG	15	23	20	24	20	20	32
GOIÂNIA	16	41	49	16	GO	24	23	28	25	24	24	36
GOIÁS	15	56	50	08	GO	21	26	26	30	23	24	39
GOUVEIA	18	27	43	43	MG	19	23	22	27	20	20	35
GRAJAU	05	49	46	48	MA	14	19	21	20	22	25	28
GUAIACURUS	20	05	56	42	MS	25	31	31	32	35	29	45
IBIÁ	19	29	46	31	MG	20	20	23	26	20	20	35
IGUATAMA	20	10	45	42	MG	14	19	22	23	20	18	31
INHUMAS	16	18	49	30	GO	22	21	20	24	22	25	36
INST. AGRONÔMICO	19	55	43	54	MG	18	20	25	27	23	20	30
ITAHARANDIBA	17	21	42	51	MG	17	22	21	24	24	19	29
ITAOBIM	16	34	41	30	MG	19	19	17	19	12	16	28
ITUMBIRARA	18	25	49	12	GO	20	21	24	27	24	20	33
JABOTICABAS	19	31	43	45	MG	19	23	26	23	20	18	32
JAGUARUNA-JUSANTE	19	43	44	28	MG	16	23	25	24	20	19	30
JANUARIA	15	29	44	22	MG	13	18	21	17	15	15	24
JEQUITINHONHA	16	26	44	00	MG	17	24	22	19	17	18	34

TABELA 3. Continuação

ESTAÇÃO	LATIT	LONGI	UF	OUTUBRO	NOVEMBRO	DEZEMBRO	JANEIRO	FEVEREIRO	MARÇO	ANUAL
JOÉ DE FREITAS	04 45	42 35	PI	06	15	20	26	26	29	35
JOÉ DE MELO	19 43	43 35	MG	15	23	25	25	20	23	31
JUPIÁ	20 47	51 37	MS	17	17	23	28	25	21	35
LAGOA SANTA	19 37	43 53	MG	20	21	24	27	24	20	33
LAMOUNIER	20 28	45 02	MG	17	24	26	26	20	21	34
LASSANCE	17 53	44 35	MG	15	25	21	21	17	19	30
LUSSANVIRA	20 41	51 06	SP	18	20	21	25	20	17	31
MANGA	14 45	43 57	MG	13	22	20	20	17	17	27
MATEUS LEME	19 59	44 25	MG	20	22	27	25	21	24	37
MENDANHA-MONTANTE	18 06	43 30	MG	16	23	28	28	21	20	38
MINAS NOVAS	17 14	44 30	MG	16	25	20	20	15	16	32
MOCAMBO	13 14	44 30	BA	07	10	15	08	08	16	20
MONSENHOR PAULO	21 46	45 32	MG	17	20	23	23	20	18	30
MONTE AL. DE MINAS	18 52	48 52	MG	19	20	22	30	19	23	37
MONTE CARMELO	18 43	47 30	MG	19	21	23	28	21	16	35
MONTES CLAROS	16 44	43 52	MG	16	28	33	33	28	21	47
MORRO DO PILAR	19 12	43 22	MG	21	28	30	26	23	26	39
NOVA ERA	19 46	43 03	MG	15	20	24	23	16	19	28
PARANÁ	12 31	47 46	GO	21	22	23	20	22	20	29
PEDRO LEOPOLDO	19 37	44 02	MG	20	25	28	22	20	17	37
PONTE DO LICINIO	18 40	44 13	MG	16	19	23	19	17	19	32
PONTE GUATAPARA	21 30	48 02	SP	20	17	25	23	23	18	33
PORTO MANDACARU	16 41	42 30	MG	18	22	21	28	21	19	33
PONTE NOVA DO PARAOP	19 56	44 19	MG	15	20	19	19	15	19	30
PORTO NOVO	13 16	43 45	BA	15	21	24	20	19	21	30
QUEIMADAS	14 46	43 53	MG	12	19	23	20	19	22	30
RIO PIRACICABA	19 55	43 11	MG	17	21	21	26	16	18	33
SABARA	19 55	43 49	MG	16	21	25	21	20	18	28
SANGRADOURO	15 39	53 54	MT	23	30	27	27	26	29	42
SANTA BÁRBARA	19 58	43 24	MG	16	21	22	28	21	18	32
SANTA JULIANA	19 18	47 32	MG	21	21	24	25	23	19	32
STA. MARIA VITÓRIA	13 24	44 12	BA	13	24	25	17	19	17	32
STA. MARIA ITABIRÁ	19 27	43 07	MG	18	28	25	26	20	18	33
SANTANA DO JACARÉ	20 54	45 07	MG	15	19	21	22	17	17	30
SÃO FRANCISCO	15 57	44 52	MG	19	20	23	26	21	25	35
SÃO GONÇALO	14 20	44 32	MG	09	22	20	19	18	17	32
SÃO JOÃO DO PIAUÍ	08 02	42 15	PI	08	24	19	21	23	24	35
SÃO MANUEL	13 30	44 50	BA	12	20	23	22	20	20	28
SETE LAGOAS	19 28	44 15	MG	16	23	24	28	26	17	37
SÍTIO GRANDE	12 26	45 05	BA	18	22	24	23	23	19	31
TAGUA-CAMPOLARGO	11 44	43 31	BA	16	35	24	19	21	20	37
TAGUATINGA	12 24	46 26	GO	20	22	24	26	23	27	34
TAPIRAÍ-JUSANTE	19 53	46 01	MG	20	23	26	28	26	22	33
TAQUARACU	19 39	43 41	MG	17	23	27	24	21	18	35
TERESINA	05 05	42 49	PI	06	21	27	27	25	29	44
TERRA ROXA	20 00	48 00	SP	17	21	28	29	20	22	36
UNIÃO	04 35	42 52	PI	13	15	21	22	27	28	39
USINA DE VARGINHA	21 37	45 24	MG	19	17	20	20	21	17	28
USINA PETI	21 37	45 24	MG	17	26	22	28	21	22	35
VESPASIANO	19 41	43 53	MG	15	21	21	23	19	15	30

TABELA 3. Continuação

ESTAÇÃO	LATIT	LONGI	UF	OUTUBRO				NOVEMBRO				DEZEMBRO				JANEIRO				FEVEREIRO				MARÇO				ANUAL	
				PL	dP	F	PL	PL	dP	F	PL	PL	dP	F	PL	PL	dP	F	PL	PL	dP	F	PL	dP	F	(mm)	(mm)		
TAGUATINGA	12	24	46	26	GO	54.8	10.4	1	60.6	12.3	8	65.2	10.1	8	73.2	11.8	8	62.6	4.9	8	75.4	12.4	1	92.1	10.5	4			
TAPIRAÍ-JUSANTE	19	53	46	01	MG	59.7	6.1	8	67.9	10.6	1	74.7	11.1	8	81.9	7.3	8	73.9	8.3	1	63.9	7.2	8	96.6	6.6	1			
TAQUARACU	19	39	43	41	MG	50.5	4.8	6	67.9	8.4	8	78.8	5.9	8	69.8	8.4	8	61.4	15.7	2	53.5	7.0	4	100.9	17.3	4			
TERESINA	05	05	42	49	PI	24.5	5.6	4	57.2	10.0	5	75.6	10.3	8	75.2	8.1	6	69.0	6.9	3	79.6	10.7	3	118.0	7.2	7			
TERRA ROXA	20	00	48	00	SP	48.2	6.4	8	61.8	4.9	7	81.3	8.2	1	84.8	6.0	1	59.7	6.0	2	64.6	7.9	7	193.9	8.1	1			
UNIÃO	04	35	42	52	PI	35.6	8.3	4	39.9	11.0	7	50.5	10.7	5	60.4	5.0	1	74.6	8.1	8	78.5	13.2	4	106.6	11.8	5			
USINA DE VARGINHA	21	37	45	24	MG	55.1	9.3	5	50.5	5.3	8	58.6	7.5	8	56.8	6.1	1	61.6	8.3	7	49.3	5.4	8	81.7	6.2	8			
USINA PETI	21	37	45	24	MG	51.1	4.8	1	73.9	12.2	1	64.7	6.8	1	83.3	7.9	8	61.7	5.8	8	64.8	11.1	5	100.6	7.2	8			
VESPASIANO	19	41	43	55	MG	46.9	7.7	6	66.7	9.0	8	67.6	12.2	8	70.0	9.7	1	58.8	18.1	2	53.3	6.4	4	93.4	14.5	2			

março. É importante notar que as maiores chuvas máximas não ocorrem em outubro, período em que a perda de solo por erosão hídrica tende a ser maior visto que a maioria das áreas agricultadas estão sem cobertura vegetal. Outra informação importante é que 12% das chuvas de maior valor ocorrem em março, considerando de modo geral como período de colheita ou pós colheita das principais culturas da região. Analisando a precipitação máxima diária para um ano, 80% destas são superiores a 90 mm.

Na Tabela 3 são apresentadas as intensidades máximas das chuvas, de outubro a março, para duração de 30 minutos. As intensidades para seis minutos e uma hora também foram calculadas, estando disponíveis.

Analizando a Tabela 3, vê-se 16% das chuvas de maior intensidade ocorrem no mês de novembro, 33% em dezembro, 37% em janeiro, 11% em fevereiro e 13% em março. Para as precipitações de maior intensidade anual, 87% são superiores a 30 mm/30 minutos.

É importante salientar que o método aqui utilizado, baseado em coeficientes empíricos, tem validade regional. No local, é fundamental que se estabeleçam novos coeficientes relacionados com os microclimas característicos de cada região.

CONCLUSÕES

O método indireto, utilizado para determinação da intensidade das chuvas no intervalo de trinta minutos, apresentou resultados coerentes e pode ser adaptado para estimar a intensidade

das chuvas nas regiões. Na determinação das precipitações máximas diárias para 100 estações dos cerrados brasileiros, as funções de distribuição de Gumbell e Weibull apresentaram coeficientes de correlação elevados, sendo, em todos os casos, superiores a 0,92.

1. A máxima das máximas precipitações pluviais ocorre com maior freqüência nos meses de dezembro e janeiro (35% e 32%, respectivamente) e com menor freqüência nos meses de outubro e fevereiro (0% e 5%, respectivamente).

2. As precipitações máximas anuais, em 80% dos casos, são superiores a 90 mm/dia, para tempo de recorrência de cinco anos.

3. As precipitações máximas para duração de 30 minutos estão distribuídas em termos percentuais da seguinte maneira: 0% em outubro; 16% em novembro; 33% em dezembro; 37% em janeiro; 11% em fevereiro; e 13% em março.

4. Em 87% dos casos analisados, a intensidade máxima anual para duração de 30 minutos é igual ou superior a 30 mm.

5. O método apresentado é de fácil utilização; entretanto, é fundamentado em coeficientes empíricos. Em momento algum pode substituir as informações pluviográficas, mas sim fornecer uma primeira aproximação nas regiões onde a intensidade das chuvas não está disponível, mas existem dados pluviométricos.

AGRADECIMENTOS

À JICA (Japan International Cooperation Agency) pelo apoio fornecido e pela efetiva participação na elaboração deste trabalho.

REFERÊNCIAS

- ASSAD, E.D.; CASTRO, L.H.R. Análise freqüencial da pluviometria para estação de Sete Lagoas, MG. *Pesquisa Agropecuária Brasileira*, Brasília, v.26, n.3 p.397-402, 1991.
- BANZATO, D.A.; BENICASA, M. Estimativa das precipitações máximas prováveis com duração de um dia, para o Estado de São Paulo. São Paulo: UNESP, Campus de Jaboticabal, Faculdade de Ciências Agrárias e Veterinárias, 1986. 36p. (Boletim Técnico, n.07).
- EKERN, P.C. Rainfall intensity as a measure of storm erosivity. *Soil Science Society of America Proceedings*, v.18, p.212-216, 1954.
- FREE, C.R. Erosion characteristics of rainfall. *Agricultural Engineering*, v.41, p.447-449, 1960.
- MOREIRA, M. Metodologia para definir padrões pluviométricos. Caso: cerrados brasileiro. Brasília: UnB, 1985. 120p. Tese de Mestrado.
- PETRUASKAS, C.; AGAARD, P.M. Extrapolation of historical storm data for estimating design wave heights. In: *ANNUAL OFFSHORE TECHNOLOGY CONFERENCE*, 1970, Houston, Texas. Houston: s.n., 1970. p.I409-I429.
- PFAFSTETTER, O. *Chuvas intensas no Brasil*. Rio de Janeiro: DNOS, 1957. 419p.
- TORRICO, J.J.T. *Práticas Hidrológicas*. 2.ed. Rio de Janeiro: TRANSCON, 1975. 120p.
- WISCHMEIER, W.H.; SMITH, D.D. Rainfall energy and its relationship soil loss. *Trans Amer. Geophys. Union*, v.39, n.2, p.285-291, 1958.
- WOLF, J.M. Probabilidade de ocorrência de períodos secos na estação chuvosa para Brasília. *Pesquisa Agropecuária Brasileira*, Brasília, v.12, n. único, p.141-150, 1977.